

УДК 532.529: 534.2

## ЭКСПЕРИМЕНТАЛЬНОЕ ИССЛЕДОВАНИЕ ОСАЖДЕНИЯ АЭРОЗОЛЯ В ЗАКРЫТОЙ ТРУБЕ С ИЗМЕНЯЮЩИМСЯ СЕЧЕНИЕМ

© 2022 г. Д. А. Губайдуллин\*, Р. Г. Зарипов\*\*, Л. А. Ткаченко\*\*\*, Л. Р. Шайдуллин\*\*\*\*

*Институт механики и машиностроения – обособленное структурное  
подразделение ФИЦ КазНЦ РАН, г. Казань, Россия*

*\*E-mail: gubaidullin@imm.knc.ru*

*\*\*E-mail: zaripov@imm.knc.ru*

*\*\*\*E-mail: luda\_tkachenko@inbox.ru*

*\*\*\*\*E-mail: liqn@mail.ru*

Поступило в редакцию 30.03.2021 г.

После доработки 25.10.2021 г.

Принято к публикации 23.11.2021 г.

Исследованы нелинейные колебания вблизи резонансной частоты аэрозоля в закрытой трубе с изменяющимся сечением. Представлены зависимости размаха колебаний давления среды от числа Рейнольдса. Выявлено, что при резонансе уменьшение концентрации аэрозоля в трубе со временем происходит в 12 раз быстрее, чем в отсутствие колебаний. Дается сравнение результатов с экспериментальными данными для однородных труб.

DOI: 10.31857/S0040364422010057

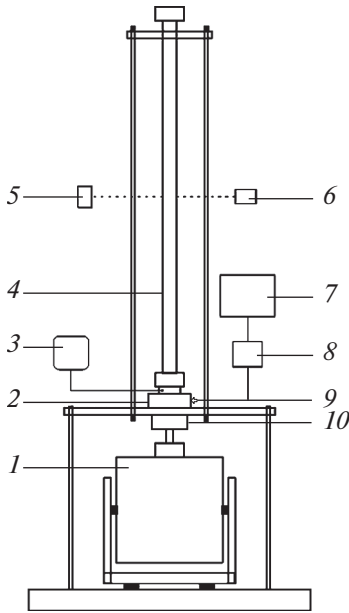
### ВВЕДЕНИЕ

Современные технические устройства, применяемые во многих областях промышленности, имеют различные размеры и сложную геометрию. Проходящие в них технологические процессы имеют “волновую природу” и сопровождаются различными нелинейными эффектами: ударными волнами, вихревыми движениями, фокусировкой дисперсной фазы [1]. Нелинейные колебания в акустике подробно рассмотрены в [2, 3], динамика многофазных сред при волновом воздействии – в [4]. Для интенсификации нелинейных колебаний газа может быть использована система, содержащая трубу переменного сечения, например конусную, или с резким переходом [5, 6]. Численные исследования колебаний газа в резонаторах цилиндрической формы с медленно изменяющимся сечением показали, что также происходит искажение формы волны и сдвиг резонансной частоты [7]. Интенсивное воздействие волнового поля на однородные и многофазные среды при достаточно слабых возмущениях в ограниченных объемах позволяет решать актуальную задачу акустической коагуляции и осаждения аэрозолей [8], в частности, в обрабатывающей промышленности [9] или в системах фильтрации и предварительного кондиционирования [10]. Проблемы и особенности изучения двухфазных потоков и возможности их использования для решения различных прикладных задач подробно рассматриваются в обзорах [11, 12]. Целью данной работы является исследование

процесса акустического осаждения аэрозоля в закрытой трубе с изменяющимся сечением.

### ЭКСПЕРИМЕНТАЛЬНАЯ УСТАНОВКА

Эксперименты проведены на установке, принципиальная схема которой показана на рис. 1. С помощью устройств, входящих в данную систему, выполнялось возбуждение колебаний вибростендом 1 ES-1-150 (Dongling Vibration) в вертикальной трубе, генерация мелкодисперсного аэрозоля аэрозольным генератором 3 ATM 225 (TOPAS) и определялись изменения концентрации частиц и давления среды. В качестве рабочей среды использовался аэрозоль DEHS. Распределение капель по геометрическому диаметру определялось лазерным спектрометром LAP-320 (TOPAS), диаметр преимущественно был равен 0.863 мкм, что позволяло рассматривать данный аэрозоль как монодисперсную систему [13]. Колебания среды создавались посредством поршня 10 радиусом  $R_1 = 0.05$  м, колеблющимся в цилиндре 2 высотой  $L_1 = 0.038$  м с аналогичным радиусом  $R_1$ , который соединялся со стеклянной трубой 4 длиной  $L_0 = 1.09$  м и радиусом  $R_0 = 0.018$  м. Труба с изменяющимся сечением в настоящих экспериментах использовалась для интенсификации колебаний среды в трубе для сравнения с результатами в однородной трубе при тех же условиях [14]. Изменение светопропускаемости аэрозоля в трубе вследствие уменьшения его концентрации при осаждении на стенках фиксировалось при помощи



**Рис. 1.** Принципиальная схема экспериментальной установки: 1 – вибростенд, 2 – цилиндр, 3 – аэрозольный генератор, 4 – кварцевая труба, 5 – люксметр, 6 – лазер (источник света), 7 – осциллограф, 8 – трехканальный мостовой усилитель, 9 – датчик давления, 10 – поршень.

системы, состоящей из источника света 6 (лазер SYD1230 с длиной волны 650 нм и мощностью 5 мВт) и цифрового люксметра 5 марки АТТ-1505 (Актаком) с диапазоном измерения до 50000 люкс и временем замера 0.4 с. Луч света направлялся перпендикулярно по центру трубы, проходил через аэрозоль и попадал на датчик люксметра. Давление среды вблизи поршня измерялось через трехканальный мостовой усилитель напряжения 8 ENDEVCO модели 136 (Bruel & Kjaer) с помощью датчика 9 модели 8530С-15 (Bruel & Kjaer) и записывалось осциллографом 7 DSO 3062A (Agilent Technologies).

**РЕЗУЛЬТАТЫ И ОБСУЖДЕНИЕ**

Эксперименты для определения режима колебаний выполнены при различных числах Рейнольдса, которые для труб круглого сечения определяются по формуле

$$Re = \frac{2UR_0}{\nu},$$

где  $R_0$  – гидравлический диаметр, равный внутреннему диаметру трубы;  $\nu$  – кинематическая вязкость среды  $1.51 \times 10^{-5} \text{ м}^2/\text{с}$ ; скорость среды  $U$ , задаваемая поршнем в трубе, определяется зависимостью между смещением поршня  $l$  и частотой смещения  $f$ :

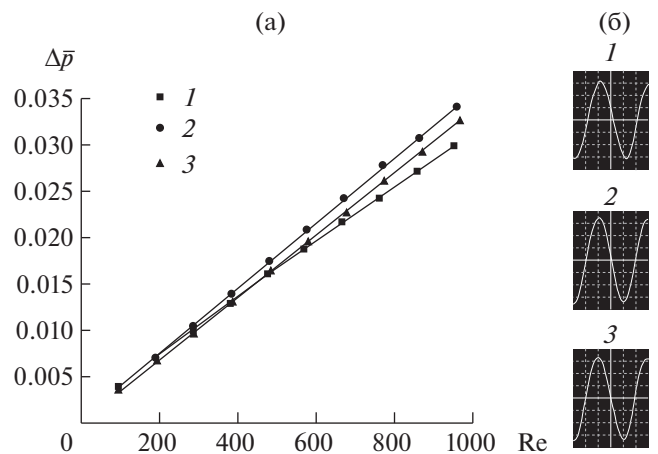
$$U = 2\pi fl.$$

Экспериментально наблюдаемая частота при первом резонансе имеет значение  $f_1 = 128 \text{ Гц}$ .

По записанным осциллограммам были построены зависимости безразмерного размаха колебаний давления среды  $\Delta\bar{p} = \Delta p/p_0$  ( $p_0$  – атмосферное давление,  $\Delta p = p_2 - p_1$ ,  $p_2$  и  $p_1$  – максимальное и минимальное значения давления за период колебаний поршня) от числа Рейнольдса  $Re$  вблизи резонанса (рис. 2а) при амплитуде возбуждения  $l = 0.5 \text{ мм}$ . Видно, что для всех исследуемых значений форма волны давления газа сохраняет непрерывный вид и наблюдается слабая деформация формы волны (рис. 2б). С приближением к резонансу размах колебаний давления газа увеличивается. Величина  $Re$  меняется от 95 до 970, что соответствует ламинарным потокам в трубе вблизи резонанса. Полученные результаты о влиянии колебания поршня на среду в трубе аппроксимировались степенной функцией

$$\Delta\bar{p} = ARe^n.$$

На резонансной частоте  $A = 0.007$  и  $n = 0.97$ , что соответствует безударно-волновому режиму колебаний и практически совпадает со значением показателя  $n = 0.91$  в узкой (радиусом  $R_0$ ) однородной трубе, тогда как в широкой (радиусом  $R_1$ ) однородной трубе, где поглощение на стенках меньше, данный показатель имеет другое значение  $n = 0.75$ , что соответствует переходному режиму. Полученные значения размаха колебаний давления среды на резонансной частоте в трубе с изменяющимся сечением в 1.5 раза больше, чем для однородной трубы при одинаковой интенсивности



**Рис. 2.** Зависимость  $\Delta\bar{p}$  от  $Re(l)$  вблизи резонансной частоты  $f_1 = 128 \text{ Гц}$  (а): 1 – 127 Гц, 2 – 128, 3 – 129; сплошные линии – степенная аппроксимация; (б) – осциллограммы давления вблизи резонанса при амплитуде возбуждения среды  $l = 0.5 \text{ мм}$ .

колебаний [14]. Однако по сравнению с более широкой однородной трубой значение давления в 0.5 раза меньше [15], что, как уже упоминалось, связано с другим режимом колебаний.

Перейдем к результатам по исследованию осаждения аэрозоля. Количественные значения для осаждения аэрозоля в трубе представлены на рис. 3. Для всех полученных зависимостей характерно монотонное уменьшение концентрации капель аэрозоля со временем от начального значения  $N_0 = 8.5 \times 10^5$  1/см<sup>3</sup> до значения, соответствующего полному осаждению капель на стенки трубы. При отсутствии колебаний характерное время осаждения аэрозоля равно 600 с. Тогда как при колебаниях происходит ускоренное осаждение капель аэрозоля: вблизи резонанса (на частотах 124 и 132 Гц) осаждение заканчивается за 58 и 64 с соответственно, на резонансной частоте (128 Гц) этот процесс завершается еще быстрее – за 50 с. Это связано с тем, что в условиях настоящих экспериментов при резонансе возникает два тороидальных вихря в верхней и нижней половинах трубы, которые вовлекают капли аэрозоля в движение, приводя к их слиянию и более быстрому осаждению на стенки трубы [13]. Для сравнения на резонансной частоте при такой же интенсивности колебаний процесс осаждения в однородной трубе аналогичного радиуса [14] происходит в 2.5 раза медленнее, а в широкой однородной трубе (с большим в 2.7 раза радиусом) [15] в 1.5 раза медленнее, хотя в последнем случае давление имеет большее значение. Это свидетельствует о том, что колебания не оказывают первоочередного влияния на процесс осаждения.

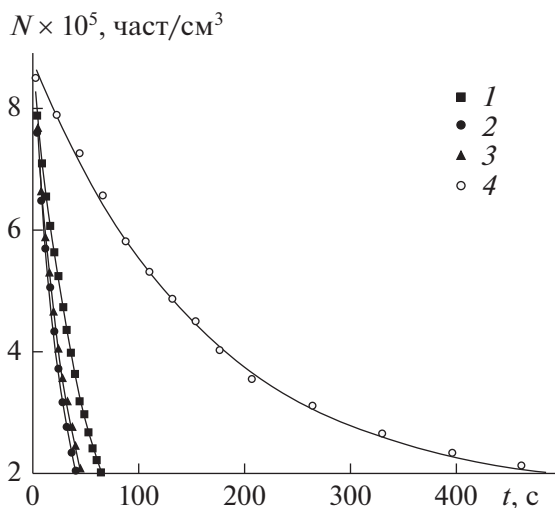


Рис. 3. Характерный вид осаждения частиц аэрозоля со временем вблизи первой резонансной частоты  $f_1 = 128$  Гц при амплитуде смещения поршня  $l = 0.5$  мм и отсутствии колебаний: 1 – 124 Гц, 2 – 128, 3 – 132, 4 – 0.

## ЗАКЛЮЧЕНИЕ

В результате экспериментального исследования нелинейных колебаний аэрозоля в закрытой трубе в резонансном режиме показано, что наличие изменяющегося сечения позволяет интенсифицировать колебания среды, а соответственно, и осаждение капель аэрозоля на стенки. Выявлено уменьшение концентрации аэрозоля в трубе со временем на всех исследуемых частотах в 10–12 раз по сравнению с естественным осаждением.

Исследование выполнено за счет гранта Российского научного фонда (проект № 20-11-20070).

## СПИСОК ЛИТЕРАТУРЫ

1. Ганиев Р.Ф., Украинский Л.Е. Нелинейная волновая механика и технологии. Волновые и колебательные явления в основе высоких технологий. М.: Ин-т комп. иссл.; НИЦ “Регулярная и хаотическая динамика”, 2011. 780 с.
2. Руденко О.В., Солюян С.И. Теоретические основы нелинейной акустики. М.: Наука, 1975. 288 с.
3. Зарембо Л.К., Красильников В.А. Введение в нелинейную акустику. М.: Наука, 1966. 519 с.
4. Нигматуллин Р.И. Динамика многофазных сред. Т. 1. М.: Наука, 1987. 464 с.
5. Zaripov R.G., Ilhamov M.A. Non-linear Gas Oscillations in a Pipe // J. Sound Vib. 1976. V. 46. Iss. 2. P. 245.
6. Min Q. Generation of Extremely Nonlinear Standing-wave Field Using Loudspeaker-driven Dissonant Tube // J. Acoust. Soc. Am. 2018. V. 143. Iss. 3. P. 1472.
7. Hamilton M.F., Ilinskii Y.A., Zabolotskaya E.A. Linear and Nonlinear Frequency Shifts in Acoustic Resonators with Varying Cross Sections // J. Acoust. Soc. Am. 2001. V. 110. Iss. 1. P. 109.
8. Медников Е.П. Акустическая коагуляция и осаждение аэрозолей. М.: Изд-во АН СССР, 1963. 263 с.
9. Amiri M., Sadighzadeh A., Falamaki C. Experimental Parametric Study of Frequency and Sound Pressure Level on the Acoustic Coagulation and Precipitation of PM2.5 Aerosols // Aerosol Air Qual. Res. 2016. V. 16. Iss. 12. P. 3012.
10. Yuen W.T., Fu S.C., Chao C.Y.H. The Correlation between Acoustic Streaming Patterns and Aerosol Removal Efficiencies in an Acoustic Aerosol Removal System // Aerosol Sci. Technol. 2016. V. 50. № 1. P. 52.
11. Вараксин А.Ю. Столкновения частиц и капель в турбулентных двухфазных потоках // ТВТ. 2019. Т. 57. № 4. С. 588.
12. Вараксин А.Ю. Двухфазные потоки с твердыми частицами, каплями и пузырями: проблемы и результаты исследований // ТВТ. 2020. Т. 58. № 4. С. 646.
13. Губайдуллин Д.А., Зарипов Р.Г., Галиуллин Р.Г., Галиуллина Э.Р., Ткаченко Л.А. Экспериментальное исследование коагуляции аэрозоля в трубе вблизи субгармонического резонанса // ТВТ. 2004. Т. 42. № 5. С. 788.
14. Губайдуллин Д.А., Зарипов Р.Г., Ткаченко Л.А. Экспериментальное исследование коагуляции и осаждения аэрозоля в закрытой трубе в безударно-волновом режиме // ТВТ. 2012. Т. 50. № 4. С. 603.
15. Губайдуллин Д.А., Зарипов Р.Г., Ткаченко Л.А., Шайдуллин Л.Р. Экспериментальное исследование коагуляции и осаждения газозвеси в закрытой трубе при переходе к ударно-волновому режиму // ТВТ. 2017. Т. 55. № 3. С. 484.